

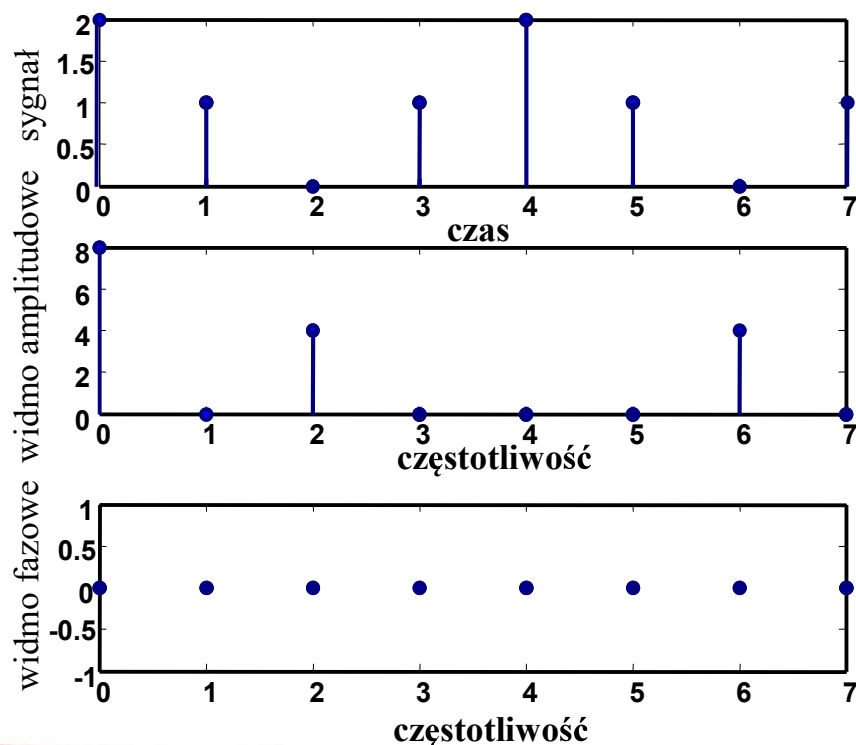
ANALIZA CZĘSTOTLIWOŚCIOWA SYGNAŁÓW DYSKRETNÝCH

Spis treści

1. Zależności pomiędzy analizą częstotliwościową sygnałów analogowych i dyskretnych
2. Definicja i własności dyskretnej transformacji Fouriera
3. Analiza częstotliwościowa dyskretnych obrazów

Dyskretna transformacja Fouriera

ang. Discrete Fourier Transform DFT



3

Biografia

Baron Jean Baptiste Joseph FOURIER (1768-1830)



Z wyróżnieniem ukończył szkołę wojskową w Auxerre.

Został nauczycielem Ecole Normal a potem Politechniki w Paryżu.

Napoleon mianował go zarządcą Dolnego Egiptu w 1798 roku.

Po powrocie do Francji został prefektem w Grenoble. Baronem został w 1809 roku. Ostatecznie w 1816 roku został sekretarzem Akademii Nauk a następnie jej członkiem w 1817.

W okresie od 1808 roku do 1825 roku napisał 21 tomowy Opis Egiptu.

Równaniem ciepła zainteresował się w 1807 roku. W opublikowanej w 1822 roku pracy pokazał jak szereg zbudowany z sinusów i kosinusów można wykorzystać do analizy przewodnictwa ciepła w ciałach stałych. Nad szeregami trygonometrycznymi pracował do końca życia, rozszerzając tę problematykę na transformację całkową.

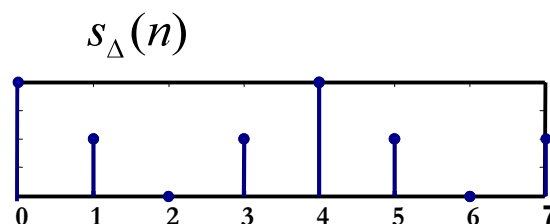
4

Geneza transformacji sygnału jednowymiarowego

Widmo sygnału analogowego

$$\hat{s}_a(f) = \int_0^T s_a(t) e^{-2\pi j f t} dt$$

gdzie T jest czasem trwania sygnału.



Wprowadźmy dyskretyzację $s_\Delta(n) = s_a(n\Delta t)$

gdzie: $n = 0, 1, \dots, N-1$

N – liczba próbek

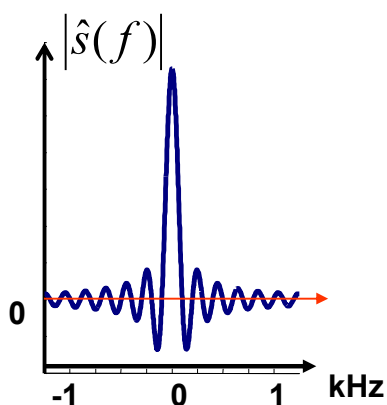
gęstość dyskretyzacji $\Delta t = T / (N-1)$

Wartość całki oznaczonej aproksymujemy „metodą prostokątów”

$$\hat{s}_a(f) \approx \Delta t \sum_{n=0}^{N-1} s_\Delta(n) e^{-2\pi j f n \Delta t}$$

5

Dyskretyzacja w dziedzinie częstotliwości



Dyskretnie widmo wyznaczamy w punktach

$$f_k = k \Delta f$$

Aby były rozłożone równomiernie i obejmowały zarówno dodatnie jak i ujemne wartości

$$k \in \{-(N-1)/2, -(N-3)/2, \dots, (N-3)/2, (N-1)/2\}$$

Położenie skrajnych punktów musi: uwzględniać założenia tw. Shannona i wynikać z powyższych założeń. Otrzymamy zatem dwa warunki:

$$\begin{cases} f_{(N-1)/2} = \frac{N-1}{2\Delta t N} < f_m = f_p / 2 \\ f_{(N-1)/2} = \frac{N-1}{2} \Delta f \end{cases}$$

a z nich wynika

$$\Delta f = \frac{1}{N\Delta t} = \frac{1}{T + \Delta t}$$

6

Prototyp DFT

Przybliżone wartości widma analogowego

$$\hat{s}_a(f) \approx \Delta t \sum_{n=0}^{N-1} s_\Delta(n) e^{-2\pi j f n \Delta t}$$

obliczamy dla wybranych częstotliwości

$$f_k = k \Delta f = \frac{k}{N \Delta t}$$

otrzymując

$$\hat{s}_a(f_k) \approx \hat{s}_\Delta(k) = \Delta t \sum_{n=0}^{N-1} s_\Delta(n) e^{-j \frac{2\pi}{N} kn}$$

Wprowadzając oznaczenie

$$w_N = e^{-j \frac{2\pi}{N}} = \cos(2\pi / N) - j \sin(2\pi / N)$$

otrzymujemy wartości widma dyskretnego

$$\hat{s}_\Delta(k) = \Delta t \sum_{n=0}^{N-1} s_\Delta(n) w^{kn}$$

7

Odwrotna dyskretna transformacja Fouriera

ang. Inverse Discrete Fourier Transform **IDFT**

Z widma ciągłego odtwarzamy sygnał analogowy

$$s_a(t) = \int_{-f_m}^{f_m} \hat{s}_a(f) e^{2\pi j f t} df$$

Aproksymując wartość całki „metodą prostokątów” spodziewamy się otrzymać dyskretne wartości sygnału

$$s_\Delta(n) = \Delta f \sum_k \hat{s}_\Delta(k) w^{-kn}$$

gdzie

$$w = e^{-j \frac{2\pi}{N}}$$

8

Wzajemna jednoznaczność transformacji

DFT

$$\hat{s}_{\Delta}(k) = \Delta t \sum_{n=0}^{N-1} s_{\Delta}(n) w^{kn}$$

IDFT

$$s_{\Delta}(n) = \Delta f \sum_k \hat{s}_{\Delta}(k) w^{-kn}$$

Rozpoczynając od definicji DFT i podstawiając do niej IDFT otrzymujemy:

$$\begin{aligned} s_{\Delta}(n) &= \frac{1}{N \Delta t} \sum_k \hat{s}_{\Delta}(k) w^{-kn} = \frac{1}{N \Delta t} \sum_k w^{-kn} \Delta t \left(\sum_{m=0}^{N-1} s_{\Delta}(m) w^{km} \right) = \\ &= \frac{1}{N} \sum_{m=0}^{N-1} s_{\Delta}(m) \sum_k w^{k(m-n)} = s_{\Delta}(n) \end{aligned}$$

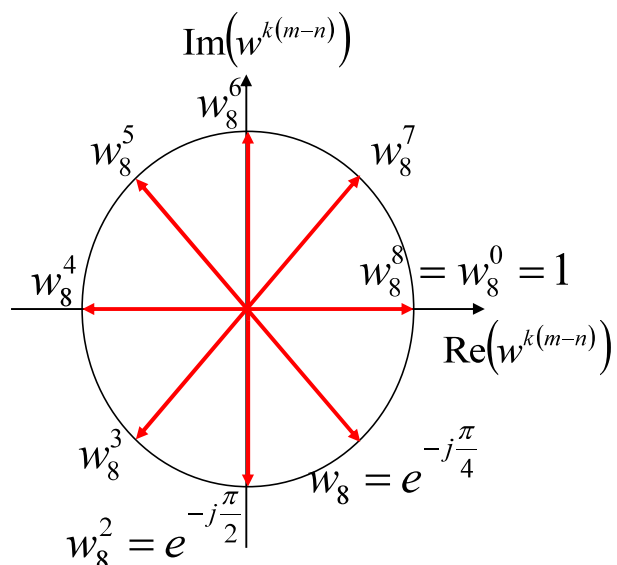
Wektory o długości 1, stąd $\sum_k w^{k(m-n)} = \begin{cases} 0 & \text{dla } m \neq n \\ N & \text{dla } m = n \end{cases}$

Wyznaczanie wektorów macierzy DFT

Dla N-punktowej DFT mamy: $W = [w_N^{kn}] \in C^{N \times N}$

Kolejne wektor wyznaczamy jako:

gdzie $w_N = e^{-j \frac{2\pi}{N}}$



Wektor przyjmuje wartości:

$$w_N = e^{-j \frac{2\pi}{N}} = \cos(2\pi / N) - j \sin(2\pi / N)$$

Przykład - zadanie 1

Treść zadania: Jakie jest widmo dyskretne sygnału

$$s_{\Delta} = [1 \quad 0 \quad -1 \quad 0 \quad 1 \quad 0]^T$$

jeśli gęstość próbkowania wynosi

$$\Delta t = 10^{-3} [s]?$$

Sygnał posiada $N=6$ próbek. Spodziewamy się, że reprezentuje drgania kosinusoidalne o okresie

$$\tau = 4 \Delta t = 4 \cdot 10^{-3} [s]$$

czyli o częstotliwości

$$f = 250 [Hz].$$

Przykład - zadanie 1

Rozwiązanie:

Numery próbek $n \in \{0, 1, 2, 3, 4, 5\}$

Dyskretne widmo ma numerację $k \in \{-2,5; -1,5; -0,5; 0,5; 1,5; 2,5\}$

Gęstość dyskretyzacji w dziedzinie częstotliwości

$$\Delta f = \frac{1}{N \Delta t} = \frac{1}{6 \cdot 10^{-3}} = 500/3 [Hz]$$

Zatem widmo dyskretne jest obliczane dla częstotliwości [Hz]

$$\{-1250/3, -250, -250/3, 250/3, 250, 1250/3\}$$

Przykład - zadanie 1

W oparciu o wzór

$$\hat{s}_{\Delta}(k) = \Delta t \sum_{n=0}^{N-1} s_{\Delta}(n) w^{kn}$$

przy

$$w = e^{-j\frac{\pi}{3}} = \cos(\pi/3) - j \sin(\pi/3) = \frac{1}{2} - \frac{\sqrt{3}}{2} j$$

otrzymujemy dyskretne widmo Fouriera

$$\hat{s}_{\Delta} = [0 \quad 3 \cdot 10^{-3} \quad 0 \quad 0 \quad 3 \cdot 10^{-3} \quad 0]^T$$

Macierzowy zapis rozwiązania zadania 1

$$\hat{s} = \Delta t W s$$

gdzie $W = [w^{kn}] \in C^{N \times N}$

$$\hat{s}_{\Delta}(k) = \Delta t \sum_{n=0}^{N-1} s_{\Delta}(n) w^{kn}$$

Macierz współczynników

$$[kn] = \begin{matrix} \begin{matrix} \text{row} \downarrow \\ \text{col} \rightarrow \end{matrix} & \begin{matrix} n=0 \\ n=1 \\ n=2 \\ n=3 \\ n=4 \\ n=5 \end{matrix} \\ \begin{matrix} k=0 \\ k=1 \\ k=2 \\ k=3 \\ k=4 \\ k=5 \end{matrix} & \begin{bmatrix} 0 & -2,5 & -5 & -7,5 & -10 & -12,5 \\ 0 & -1,5 & -3 & -4,5 & -6 & -7,5 \\ 0 & -0,5 & -1 & -1,5 & -2 & -2,5 \\ 0 & 0,5 & 1 & 1,5 & 2 & 2,5 \\ 0 & 1,5 & 3 & 4,5 & 6 & 7,5 \\ 0 & 2,5 & 5 & 7,5 & 10 & 12,5 \end{bmatrix} \end{matrix}$$

wyznacza obroty wektora $w_6 = e^{-j\frac{\pi}{3}} = \frac{1}{2} - \frac{\sqrt{3}}{2} j$

Numer wiersza $k \in \{-2,5; -1,5; -0,5; 0,5; 1,5; 2,5\}$

Numer kolumny $n \in \{0, 1, 2, 3, 4, 5\}$

Macierzowy zapis rozwiązania zadania 1

Dla rozważanego przykładu macierz przekształcenia ma postać

$$W = [w^{kn}] = \begin{bmatrix} 1 & -\frac{\sqrt{3}}{2} + \frac{j}{2} & \frac{1}{2} - \frac{\sqrt{3}}{2}j & j & -\frac{1}{2} - \frac{\sqrt{3}}{2}j & \frac{\sqrt{3}}{2} + \frac{j}{2} \\ 1 & j & -1 & -j & 1 & j \\ 1 & \frac{\sqrt{3}}{2} + \frac{j}{2} & \frac{1}{2} + \frac{\sqrt{3}}{2}j & j & -\frac{1}{2} + \frac{\sqrt{3}}{2}j & -\frac{\sqrt{3}}{2} + \frac{j}{2} \\ 1 & \frac{\sqrt{3}}{2} - \frac{j}{2} & \frac{1}{2} - \frac{\sqrt{3}}{2}j & -j & -\frac{1}{2} - \frac{\sqrt{3}}{2}j & -\frac{\sqrt{3}}{2} - \frac{j}{2} \\ 1 & -j & -1 & j & 1 & -j \\ 1 & -\frac{\sqrt{3}}{2} - \frac{j}{2} & \frac{1}{2} + \frac{\sqrt{3}}{2}j & -j & -\frac{1}{2} + \frac{\sqrt{3}}{2}j & \frac{\sqrt{3}}{2} - \frac{j}{2} \end{bmatrix}$$

i otrzymujemy $\hat{s}_{\Delta} = \Delta t W s_{\Delta} = [0 \quad 3 \cdot 10^{-3} \quad 0 \quad 0 \quad 3 \cdot 10^{-3} \quad 0]^T$

dla częstotliwości $f = [-1250/3, -250, -250/3, 250/3, 250, 1250/3]^T$

Okresowość widma DFT

Otrzymaliśmy wzór $\hat{s}_{\Delta}(k) = \Delta t \sum_{n=0}^{N-1} s_{\Delta}(n) w_N^{kn}$

gdzie $w_N = e^{-j\frac{2\pi}{N}} = \cos(2\pi/N) - j \sin(2\pi/N)$

czyli $\hat{s}_{\Delta}(k) = \Delta t \sum_{n=0}^{N-1} s_{\Delta}(n) [\cos(2\pi nk/N) - j \sin(2\pi nk/N)]$

Funkcje trygonometryczne powodują, że widmo jest funkcją o okresie N , tzn.

$$\hat{s}_{\Delta}(k+N) = \hat{s}_{\Delta}(k)$$

bo

$$\hat{s}_{\Delta}(k) = \Delta t \sum_{n=0}^{N-1} s_{\Delta}(n) [\cos(2\pi nk/N + 2\pi n) - j \sin(2\pi nk/N + 2\pi n)]$$

Racjonalizacja DFT

Przyjmujemy $k = 0, 1, 2, \dots, N - 1$

Skoro dyskretne częstotliwości $f_k = k \Delta f$

to $[f_k] = [0, \Delta f, 2\Delta f, \dots, (N-1)\Delta f]^T \in \mathbb{R}^N$

Wprowadzamy nową funkcję dyskretną $\hat{s}(k) = \frac{\hat{s}_\Delta(k)}{\Delta t}$

Przy tych dwóch założeniach wzór

$$\hat{s}_\Delta(k) = \Delta t \sum_{n=0}^{N-1} s_\Delta(n) w^{kn}$$

przyjme ostateczną postać dyskretnej transformacji Fouriera.

Definicja DFT oraz IDFT

Dyskretna transformacja Fouriera (DFT) zdefiniowana jest wzorem

$$\hat{s}(k) = \sum_{n=0}^{N-1} s(n) w^{kn}$$

a odwrotna dyskretna transformacja Fouriera (IDFT) wzorem

$$s(n) = \frac{1}{N} \sum_{k=0}^{N-1} \hat{s}(k) w^{-kn}$$

Definicja DFT oraz IDFT

Przekształcenie **DFT** można zapisać **macierzowo**

$$\hat{S} = W S$$

gdzie $W = [w^{kn}] \in C^{N \times N}$

Elementy macierzy W powstają przez podniesienie do potęgi kn wartości zespolonej

$$w = e^{-j \frac{2\pi}{N}} = \cos(2\pi / N) - j \sin(2\pi / N)$$

przy czym k jest numerem wiersza a n numerem kolumny. Numeracja rozpoczyna się od zera bo $k, n \in \{0, 1, 2, \dots, N-1\}$

Macierz przekształcenia w odwrotnej dyskretnej transformacji Fouriera (IDFT) ma postać

$$S = \frac{1}{N} W^{-1} \hat{S}$$

gdzie

$$W^{-1} = [w^{-kn}] = W^H = (W^*)^T \in C^{N \times N}$$

Transpozycja zespolona (ang. Hermitian conjugate)
to transpozycja + sprzężenie

19

Własności DFT

1. Zależność pomiędzy widmem dyskretnym a widmem sygnału analogowego

$$\hat{s}(k) \Delta t \approx \hat{s}_a(k \Delta f) \quad \text{dla} \quad k \leq N/2$$

2. Ilość dyskretnych wartości widma jest równa ilości próbek czasowych sygnału.

3. Gęstość dyskretyzacji widma

$$\Delta f = \frac{1}{N \Delta t} = (T + \Delta t)^{-1}$$

gdzie $\Delta t = T / (N - 1)$

Częstotliwość cyfrowa:

$$\underline{f} = \frac{f}{f_p} = \frac{k}{N}$$

20

Własności DFT

4. Szerokość widma:

Dla nieparzystej ilości próbek

$$f_{\max} = f_{\frac{N-1}{2}} = \frac{N-1}{2\Delta t N} = f_p \frac{N-1}{2N} = \frac{(N-1)^2}{2TN} \quad \text{bo} \quad f_p = \frac{N-1}{T}$$

Dla $N \rightarrow \infty$ otrzymujemy

$$f_{\max} \rightarrow f_p / 2$$

Dla parzystej ilości próbek

$$f_{\max} = f_{\frac{N}{2}} = \frac{1}{2\Delta t} = \frac{f_p}{2} = \frac{N-1}{2T}$$

21

Własności DFT

5. Macierz W jest nieosobliwa i symetryczna, jej elementy są na ogół zespolone a ich moduły są zawsze równe 1. Macierz odwrotna do niej

$$W^{-1} = W^H = (W^*)^T$$

6. **Liniowość** DFT, tzn. $as_1(n) + bs_2(n) \Leftrightarrow a\hat{s}_1(k) + b\hat{s}_2(k)$

$$\text{bo} \quad W(as_1 + bs_2) = aWs_1 + bWs_2$$

7. **Zachowanie energii** czyli dyskretna postać **twierdzenia Parsewala**

$$\sum_{n=0}^{N-1} s^2(n) = \frac{1}{N} \sum_{k=0}^{N-1} |\hat{s}(k)|^2$$

22

Własności DFT

8. Przesunięcie w dziedzinie czasu $s(n - n_0) \Leftrightarrow \hat{s}(k) w^{kn_0}$

$$\text{bo} \quad \sum_{n=0}^{N-1} s(n - n_0) w^{kn} = w^{kn_0} \sum_{m=-n_0}^{N-n_0-1} s(m) w^{km}$$

9. Modulacja

$$s_1(n) s_2(n) \Leftrightarrow \frac{1}{N} \sum_{m=0}^{N-1} \hat{s}_1(m) \hat{s}_2(k - m)$$

Przykład zadania 2

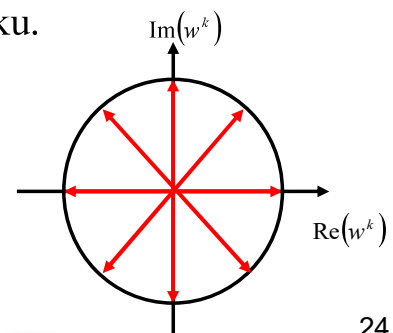
Treść zadania:

Gęstość próbkowania wynosi $\Delta t = 0,001$ [s]. Jakie jest widmo dyskretne sygnału $s = [2 \ 1 \ 0 \ 1 \ 2 \ 1 \ 0 \ 1]^T$?

Rozwiązanie:

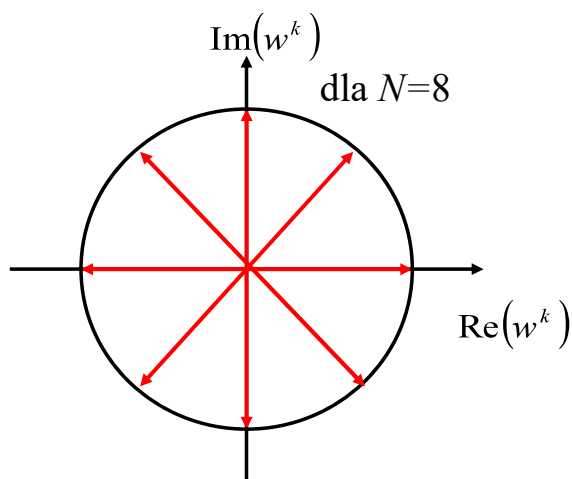
$$\text{Obliczamy} \quad w_8 = e^{-\frac{2\pi j}{8}} = \cos(\pi/4) - j \sin(\pi/4) = \frac{1}{\sqrt{2}} - \frac{j}{\sqrt{2}}$$

Podnosząc tę liczbę do potęgi całkowitej otrzymamy tylko jedną z ośmiu możliwości przedstawionych na poniższym rysunku.



Przykład zadania 2

Podnosząc tę liczbę do potęgi całkowitej otrzymamy tylko jedną z ośmiu możliwości przedstawionych na poniższym rysunku.



$$\searrow = \frac{1}{\sqrt{2}} - \frac{j}{\sqrt{2}}$$

$$\swarrow = -\frac{1}{\sqrt{2}} - \frac{j}{\sqrt{2}}$$

$$\nwarrow = -\frac{1}{\sqrt{2}} + \frac{j}{\sqrt{2}}$$

$$\nearrow = \frac{1}{\sqrt{2}} + \frac{j}{\sqrt{2}}$$

25

Przykład zadania 2 – zapis macierzowy

$$\begin{bmatrix} \hat{s}(0) \\ \hat{s}(1) \\ \hat{s}(2) \\ \hat{s}(3) \\ \hat{s}(4) \\ \hat{s}(5) \\ \hat{s}(6) \\ \hat{s}(7) \end{bmatrix} = \begin{bmatrix} \rightarrow & \rightarrow & \rightarrow & \rightarrow & \rightarrow & \rightarrow & \rightarrow & \rightarrow \\ \rightarrow & \searrow & \downarrow & \swarrow & \leftarrow & \nwarrow & \uparrow & \nearrow \\ \rightarrow & \downarrow & \leftarrow & \uparrow & \rightarrow & \downarrow & \leftarrow & \uparrow \\ \rightarrow & \swarrow & \uparrow & \searrow & \leftarrow & \nearrow & \downarrow & \nwarrow \\ \rightarrow & \leftarrow & \rightarrow & \leftarrow & \rightarrow & \leftarrow & \rightarrow & \leftarrow \\ \rightarrow & \nwarrow & \downarrow & \nearrow & \leftarrow & \searrow & \uparrow & \swarrow \\ \rightarrow & \uparrow & \leftarrow & \downarrow & \rightarrow & \uparrow & \leftarrow & \downarrow \\ \rightarrow & \nearrow & \uparrow & \nwarrow & \leftarrow & \swarrow & \downarrow & \searrow \end{bmatrix} \begin{bmatrix} s(0) \\ s(1) \\ s(2) \\ s(3) \\ s(4) \\ s(5) \\ s(6) \\ s(7) \end{bmatrix}$$

26

Przykład zadania 2

Wyliczamy ze wzoru $\hat{s} = Ws$

Otrzymując N wartości widma

$$\hat{s} = [8 \quad 0 \quad 4 \quad 0 \quad 0 \quad 0 \quad 4 \quad 0]^T$$

Próbkowanie (rozdzielczość) częstotliwości $\Delta f = \frac{1}{N\Delta t} = 125 [Hz]$

Sygnał ma składową stałą i drgania o częstotliwości $2\Delta f = 250 [Hz]$

Szerokość widma wynosi $f_{\max} = f_4 = 500 [Hz]$

czyli jest równa *częstotliwości Nyquista*

27

Przykład zadania 3

Treść zadania:

Jakie jest widmo dyskretne sygnału $s_{\Delta} = [1 \quad 0 \quad -1 \quad 0 \quad 1 \quad 0]^T$

jeśli gęstość próbkowania wynosi $\Delta t = 10^{-3} [s]$?

Sygnał posiada $N=6$ próbek. Reprezentuje drgania kosinusoidalne o okresie

$$\tau = 4\Delta t = 4 \cdot 10^{-3} [s]$$

czyli o częstotliwości $f = \frac{1}{4\Delta t} = 250 [Hz]$.

28

Przykład zadania 3

Rozwiązanie:

Gęstość dyskretyzacji w dziedzinie częstotliwości wynosi

$$\Delta f = \frac{1}{N \Delta t} = \frac{1}{6 \cdot 10^{-3}} = 500/3 [Hz]$$

czyli widmo będzie wyliczane dla częstotliwości

$$0, \quad \frac{1}{6 \Delta t} = 500/3, \quad \frac{1}{3 \Delta t} = 1000/3$$

Zatem, nie trafiamy w częstotliwość $f = 250 [Hz]$

A przecież z zadania 2 wiemy, że sygnał zawiera składową stałą i drgania o okresie 4 [ms], czyli o częstotliwości $f = 250 [Hz]$

Przykład zadania 3

Korzystając z zapisu macierzowego DFT

$$\hat{S} = W S \quad \text{gdzie} \quad w_6 = e^{-j\frac{\pi}{3}} = \frac{1}{2} - \frac{\sqrt{3}}{2} j$$

$$W = \begin{bmatrix} 1 & 1 & 1 & 1 & 1 & 1 \\ 1 & 0,5 - j\sqrt{3}/2 & -0,5 - j\sqrt{3}/2 & -1 & -0,5 + j\sqrt{3}/2 & 0,5 + j\sqrt{3}/2 \\ 1 & -0,5 - j\sqrt{3}/2 & -0,5 + j\sqrt{3}/2 & 1 & -0,5 - j\sqrt{3}/2 & -0,5 + j\sqrt{3}/2 \\ 1 & -1 & 1 & -1 & 1 & -1 \\ 1 & -0,5 + j\sqrt{3}/2 & -0,5 - j\sqrt{3}/2 & 1 & -0,5 + j\sqrt{3}/2 & -0,5 - j\sqrt{3}/2 \\ 1 & 0,5 + j\sqrt{3}/2 & -0,5 + j\sqrt{3}/2 & -1 & -0,5 - j\sqrt{3}/2 & 0,5 - j\sqrt{3}/2 \end{bmatrix}$$

Przykład zadania 3

Wyliczając widmo sygnału

$$\hat{s} = \begin{bmatrix} 1 & 1+j\sqrt{3} & 1-j\sqrt{3} & 1 & 1+j\sqrt{3} & 1-j\sqrt{3} \end{bmatrix}^T$$

Oraz widmo amplitudowe

$$|\hat{s}| = \begin{bmatrix} 1 & 2 & 2 & 1 & 2 & 2 \end{bmatrix}^T$$

A przecież składowej stałej i częstotliwości 167 [Hz] oraz 333 [Hz] nie ma w sygnale! Jest tylko 250 [Hz].

Czy otrzymaliśmy poprawny wynik?

31

Dwuwymiarowa ciągła transformacja Fouriera - revised

Widmo częstotliwościowe obrazu analogowego zdefiniowane jest wzorem

$$\hat{s}(f_x, f_y) = \int_{-\infty}^{\infty} \int_{-\infty}^{\infty} s(x, y) e^{-2\pi j(f_x x + f_y y)} dx dy$$

$$\hat{s}(f_x, f_y) = \int_{-\infty}^{\infty} \int_{-\infty}^{\infty} s(x, y) \cos(2\pi(f_x x + f_y y)) dx dy - j \int_{-\infty}^{\infty} \int_{-\infty}^{\infty} s(x, y) \sin(2\pi(f_x x + f_y y)) dx dy$$

Widmo rzeczywiste w trzeciej ćwiartce jest kopią widma z pierwszej i podobnie z czwartej jest kopią z drugiej. Widmo urojone w trzeciej ćwiartce ma przeciwny znak niż widmo z pierwszej i podobnie z czwartej, przeciwny znak niż w drugiej.

Odtwarzanie obrazu analogowego z jego widma częstotliwościowego dokonywane jest przy pomocy wzoru

$$s(x, y) = \int_{-\infty}^{\infty} \int_{-\infty}^{\infty} \hat{s}(f_x, f_y) e^{2\pi j(f_x x + f_y y)} df_x df_y$$

Wzory analogowe wykorzystamy do wyprowadzenia dyskretnej transformacji sygnałów dwuwymiarowych, czyli 2-D DFT.

32

Geneza dyskretnej transformacji obrazów

Obliczając przybliżone wartości całek oznaczonych

$$\hat{s}(f_x, f_y) = \int_{-\infty}^{\infty} \int_{-\infty}^{\infty} s(x, y) e^{-2\pi j(f_x x + f_y y)} dx dy$$

$$s(x, y) = \int_{-\infty}^{\infty} \int_{-\infty}^{\infty} \hat{s}(f_x, f_y) e^{2\pi j(f_x x + f_y y)} df_x df_y$$

otrzymujemy

$$\hat{s}_{\Delta}(k_x, k_y) = \Delta x \Delta y \sum_{n_x} \sum_{n_y} s_{\Delta}(n_x, n_y) w_x^{k_x n_x} w_y^{k_y n_y}$$

$$s_{\Delta}(n_x, n_y) = \Delta f_x \Delta f_y \sum_{k_x} \sum_{k_y} \hat{s}_{\Delta}(k_x, k_y) w_x^{-k_x n_x} w_y^{-k_y n_y}$$

Przyjmujemy $k_x = 0, 1, 2, \dots, N_x - 1$ oraz $k_y = 0, 1, 2, \dots, N_y - 1$

i wprowadzamy nową funkcję dyskretną $\hat{s}(k_x, k_y) = \frac{\hat{s}_{\Delta}(k_x, k_y)}{\Delta x \Delta y} \approx \frac{\hat{s}(k_x \Delta f_x, k_y \Delta f_y)}{\Delta x \Delta y}$

33

Dyskretna transformacja sygnału dwuwymiarowego

Przy tych dwóch założeniach otrzymujemy następujące wzory

Dyskretna transformacji Fouriera obrazów (DFT 2D)

$$\hat{s}(k_x, k_y) = \sum_{n_x=0}^{N_x-1} \sum_{n_y=0}^{N_y-1} s(n_x, n_y) w_x^{n_x k_x} w_y^{n_y k_y}$$

Odwrotna dyskretna transformacji Fouriera obrazów (IDFT 2D)

$$s(n_x, n_y) = \frac{1}{N_x N_y} \sum_{k_x=0}^{N_x-1} \sum_{k_y=0}^{N_y-1} \hat{s}(k_x, k_y) w_x^{-n_x k_x} w_y^{-n_y k_y}$$

gdzie $w_x = e^{-j \frac{2\pi}{N_x}}$ $w_y = e^{-j \frac{2\pi}{N_y}}$

34

Macierzowy zapis 2-D DFT

$$\hat{S} = W_x s W_y \quad \hat{S} = W_x s W_y$$

gdzie $s = [s(n_x, n_y)] \in \mathbb{R}^{N_x \times N_y}$

$\hat{S} = [\hat{S}(k_x, k_y)] \in \mathbb{C}^{N_x \times N_y}$

$$W_x = [w_x^{n_x k_x}] \in \mathbb{C}^{N_x \times N_x}$$

$$W_y = [w_y^{n_y k_y}] \in \mathbb{C}^{N_y \times N_y}$$

$$k_x, n_x = 0, \dots, N_x - 1$$

$$k_y, n_y = 0, \dots, N_y - 1$$

k_x numer kolumny macierzy

n_y numer kolumny

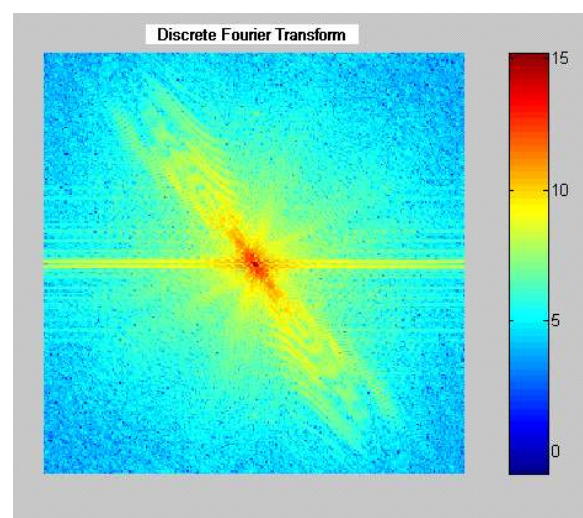
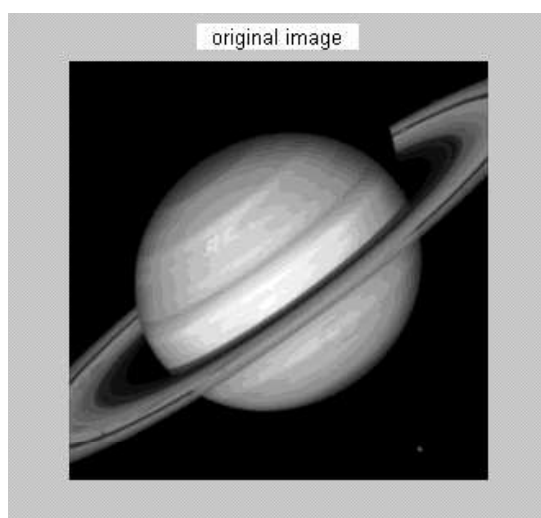
n_x numer wiersza macierzy

k_y numer wiersza

W_x oraz W_y są macierzami symetrycznymi

35

Przykład 2-D DFT

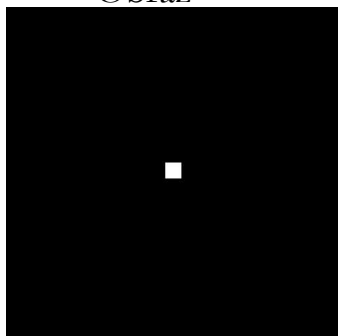


Widmo amplitudowe z pierwszej ćwiartki jest identyczne jak widmo z trzeciej i podobnie, w czwartej identyczne jak w drugiej.

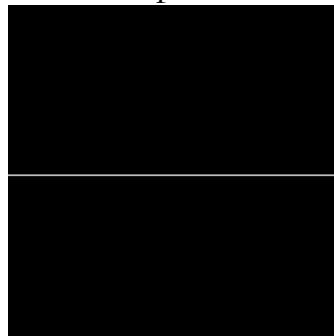
36

Przykłady 2-D DFT

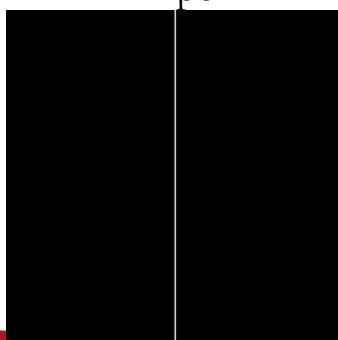
Obraz



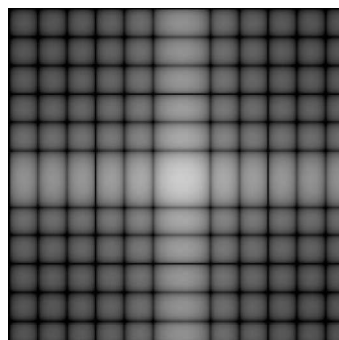
DFT po X



DFT po Y



2D DFT

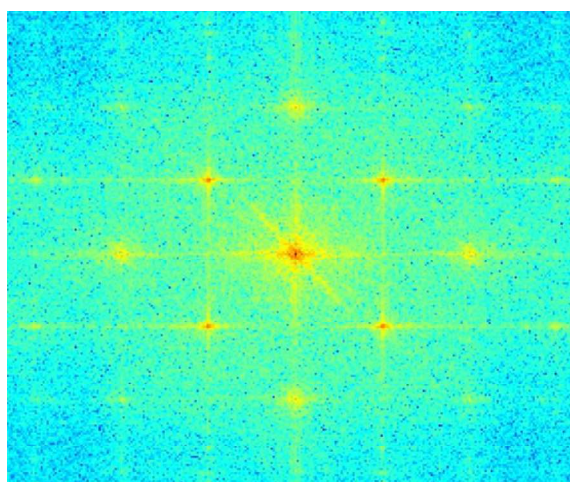


Przykłady 2-D DFT

Obraz



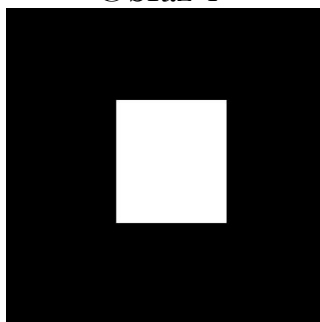
DFT obrazu



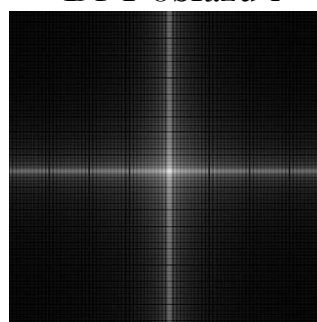
Obraz ma dodane zakłócenia sinusoidalne w obu kierunkach

Przykład 2-D DFT

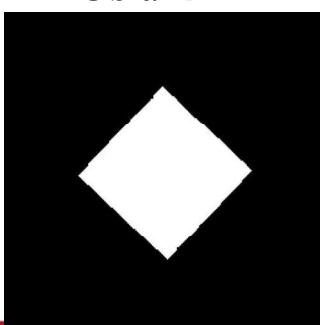
Obraz 1



DFT obrazu 1



Obraz 2



DFT obrazu 2

